

## BAB 6

### KESIMPULAN DAN SARAN

#### 6.1. Kesimpulan

Dari penelitian ini telah didapatkan model mekanika kontak kaki dengan *insole* telah dengan cara melakukan simulasi pada software Abaqus 6.13. Model tersebut dibuat dengan menerapkan beberapa faktor yang telah ditentukan sehingga model yang diperoleh dapat divalidasi hasilnya. Hasil yang didapatkan dari pembuatan model ini adalah berupa nilai *von misses* yang kemudian akan dianalisis dan dijadikan acuan untuk mencari desain yang paling optimal.

Beberapa faktor digunakan dalam simulasi untuk mendapatkan nilai *von misses* yang paling optimal. Dari proses simulasi, diperoleh kesimpulan bahwa penambahan *metatarsal pad* (MP) pada *insole shoe orthotic* justru akan menambah besar nilai *von misses*. Sementara itu perbesaran *width* menjadi faktor yang paling berpengaruh terhadap nilai *von misses*. Setelah mendapatkan nilai *von misses* selanjutnya diproses menggunakan analisis *taguchi* untuk menghasilkan desain *insole shoe* terbaik berdasarkan nilai *von misses* terkecil. Dan dari hasil penelitian tersebut disimpulkan bahwa desain *insole shoe orthotic* yang paling optimal merupakan desain *insole shoe* dengan perbesaran 0,75 tanpa menggunakan *metatarsal pad*.

#### 6.2. Saran

Setelah mendapatkan desain *insole shoe orthotic* yang optimal, perlu adanya penelitian lebih lanjut mengenai beberapa hal, yaitu :

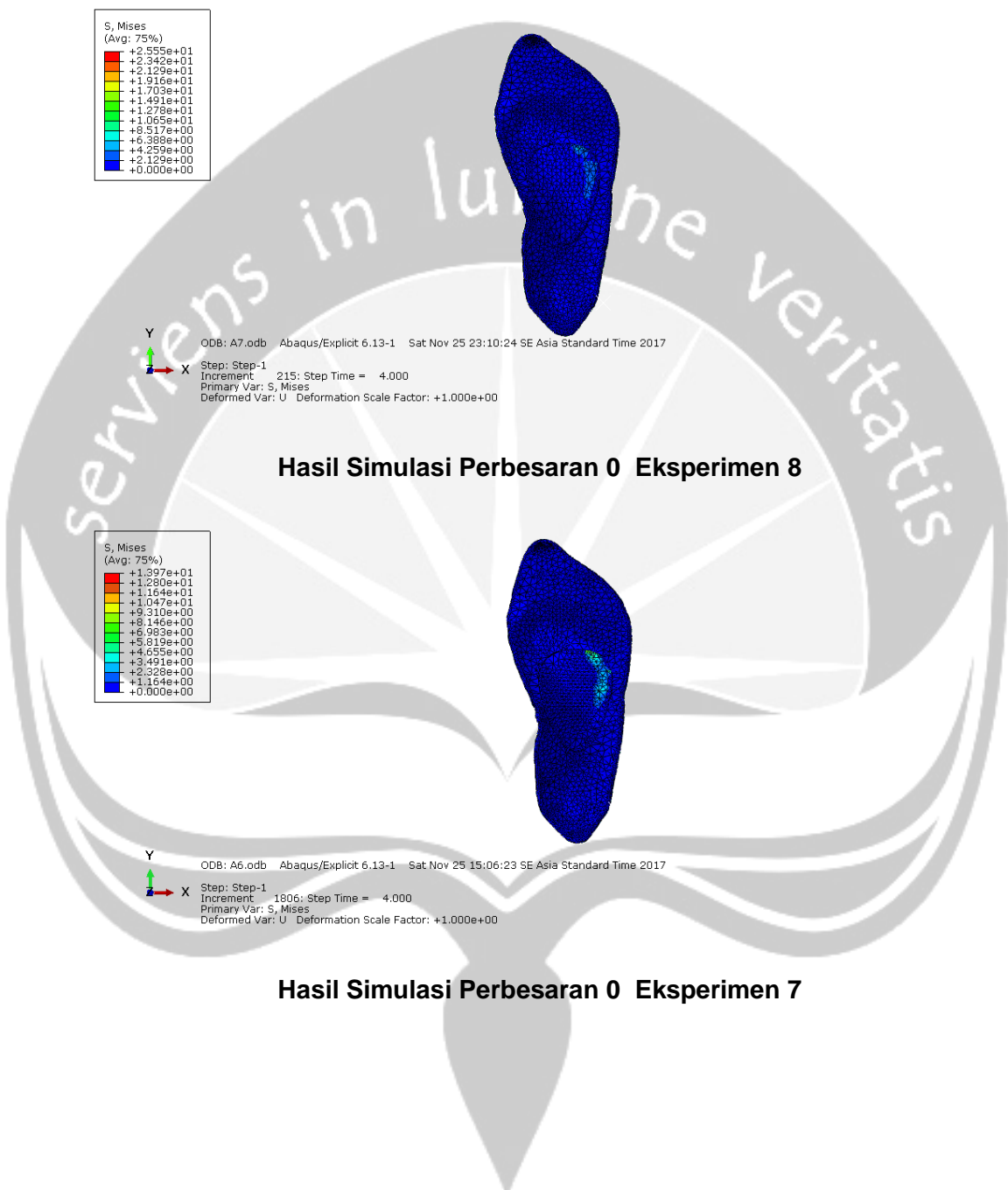
- a. Optimasi proses permesinan pada *insole shoe orthotic* khusus kelainan kaki *metatarsalgia* dengan menggunakan mesin CNC yang dimiliki oleh Laboratorium Proses Produksi UAJY
- b. Umur pakai yang dimiliki oleh *insole shoe orthotic* khusus kelainan kaki *metatarsalgia*.
- c. Hubungan antara tinggi sepatu bertumit dengan rasa sakit yang dialami kelainan kaki *metatarsalgia*.

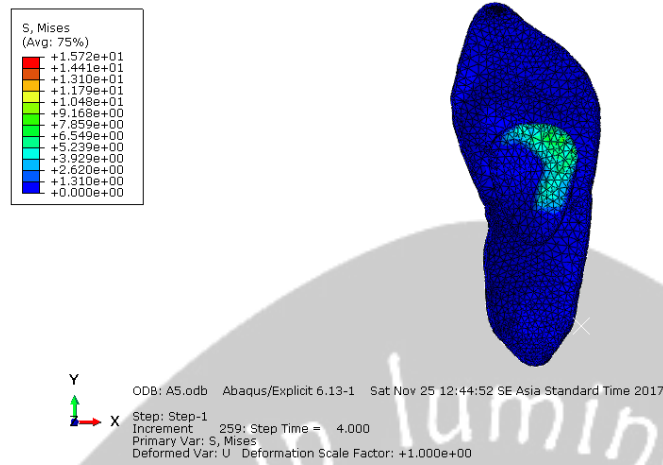
## DAFTAR PUSTAKA

- Andhari, M. M. (2017). *Model Konstitutif Finite Element Analysis untuk Material EVA Rubber (Skripsi)*. Program Studi Teknik Industri, Fakultas Teknologi Industri, Universitas Atma Jaya Yogyakarta.
- Anggoro, P. W., Saputra, E., Tauviqirahman, M., Jamari, J., and Bayuseno, A. P., *A 3-Dimensional Finite Element Analysis of the Insole Shoe Orthotic for Foot Deformities, International Journal of Applied Engineering Research ISSN 0973-4562 Volume 12, Number 15 (2017) pp. 5254-5260*
- Anthony, A. A. (2017). *Optimasi Parameter Permesinan Material X dan Y untuk Produk Insole Menggunakan Mesin CNC (Skripsi)*. Program Studi Teknik Industri, Fakultas Teknologi Industri, Universitas Atma Jaya Yogyakarta.
- Belavendram, N. (1995). *Quality By Design: Taguchi Technique for Industrial Experimentation*. Prentice Hall, London.
- Besse, J.L. (2017). *Metatarsalgia. Article In Press. Orthopaedics & Traumatology : Surgery & Research*
- Chen, W. M., Lee, S. J., & Lee, P. V. S. (2015). *Plantar pressure relief under the metatarsal heads - Therapeutic insole design using three-dimensional finite element model of the foot. Journal of Biomechanics*, 48(4), 659–665.
- Erdemir, A., Viveiros, M. L., Ulbrecht, J. S., & Cavanagh, P. R. (2006). An inverse finite-element model of heel-pad indentation. *Journal of Biomechanics*, 39(7), 1279–1286.
- Fratila, D., & Caizar, C. (2011). Application of Taguchi method to selection of optimal lubrication and cutting conditions in face milling of AlMg 3. *Journal of Cleaner Production*, 19(6–7), 640–645. ht
- Gunawan, F. C. (2016). *Analisis Finite Element pada Material EVA Rubber Dua Layer pada Aplikasi Desain Insole Shoe Orthotic*. Program Studi Teknik Industri, Fakultas Teknologi Industri, Universitas Atma Jaya Yogyakarta.
- Luo, G., Houston, V. L., Garbarini, M. A., Beattie, A. C., & Thongpop, C. (2011). Finite element analysis of heel pad with insoles. *Journal of Biomechanics*, 44(8), 1559–1565.

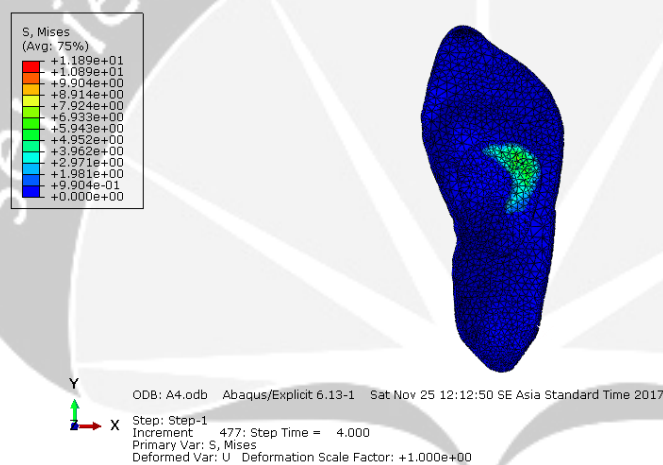
- Mandato, M. G., & Nester, E. (1999). The Effects of Increasing Heel Height on Forefoot Peak Pressure, 89(2), 75–80.
- Permono, P. P. (2017). *Finite Element Analysis pada Desain Insole Shoe Orthotic*. Program Studi Teknik Industri, Fakultas Teknologi Industri, Universitas Atma Jaya Yogyakarta.
- Tomo, C. H. (2017). *Analisis Finite Element Insole Shoe Orthotic pada Kasus Kelainan Kaki Datar*. Program Studi Teknik Industri, Fakultas Teknologi Industri, Universitas Atma Jaya Yogyakarta.
- Schreiber, J. H. (2015). *Prediction of fragmentation and experimentally inaccessible material properties of steel using finite element analysis*. The Pennsylvania State University, University Park, PA 16802, USA.
- Sinaga, T. A. P. (2017). *Pengujian Material EVA Rubber Sebagai Insole Sepatu Orthotic (Skripsi)*. Program Studi Teknik Industri, Fakultas Teknologi Industri, Universitas Atma Jaya Yogyakarta.
- Sarikaya, M., & Güllü, A. (2014). Taguchi design and response surface methodology based analysis of machining parameters in CNC turning under MQL. *Journal of Cleaner Production*, 65, 604–616.
- Wicaksono, A. (2017). *Perbaikan Desain Insole Orthotic Menggunakan Curve Based Surface Modelling dari 3D Mesh ke 3D Solid Model*. Program Studi Teknik Industri, Fakultas Teknologi Industri, Universitas Atma Jaya Yogyakarta.
- [www.artikelcad.com/2014/09/arti-dari-definisi-dan-perbedaan-cad.html](http://www.artikelcad.com/2014/09/arti-dari-definisi-dan-perbedaan-cad.html) yang diakses pada tanggal 09 – 10 - 2016
- [www.infometrik.com/2009/07/konsep-dasar-finite-element-method/](http://www.infometrik.com/2009/07/konsep-dasar-finite-element-method/) yang diakses pada tanggal 21 – 09 - 2016
- Yu, J., Cheung, J. T. M., Fan, Y., Zhang, Y., Leung, A. K. L., & Zhang, M. (2008). Development of a finite element model of female foot for high-heeled shoe design. *Clinical Biomechanics*, 23(SUPPL.1), 31–38.

## LAMPIRAN

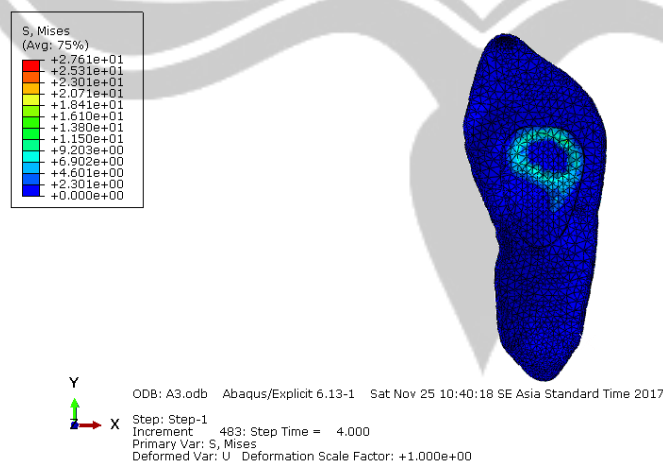




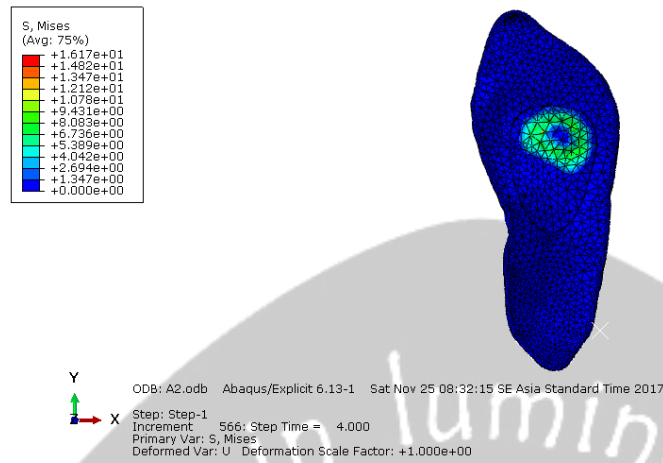
**Hasil Simulasi Perbesaran 0 Eksperimen 6**



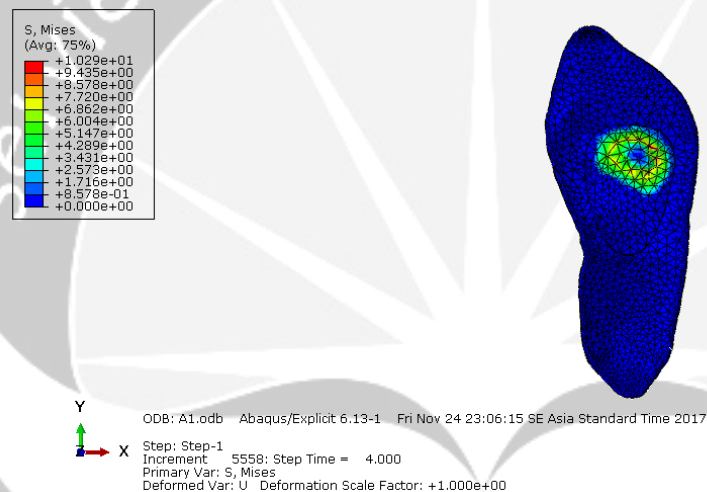
**Hasil Simulasi Perbesaran 0 Eksperimen 5**



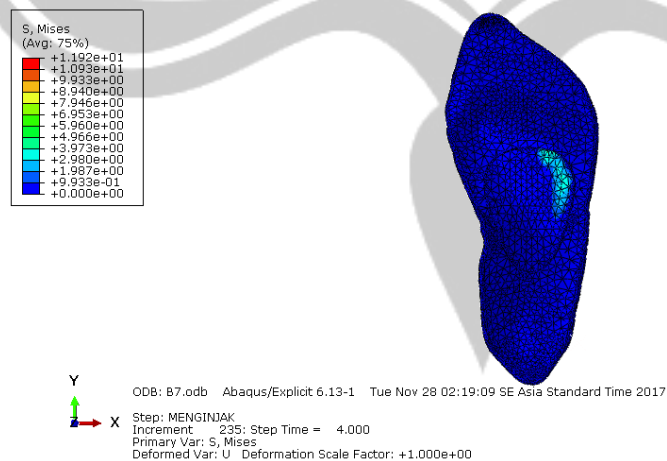
**Hasil Simulasi Perbesaran 0 Eksperimen 4**



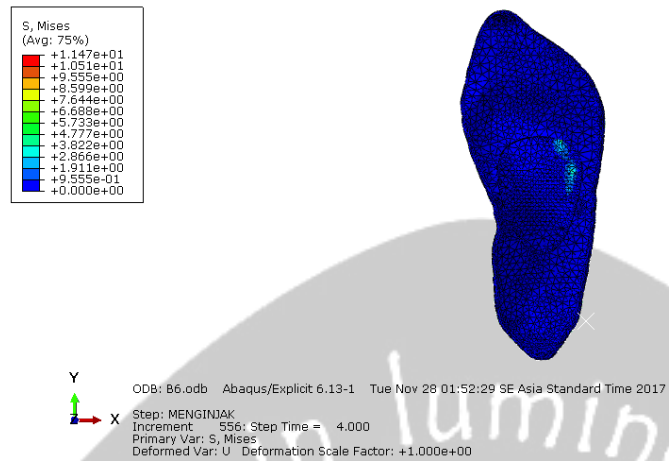
### Hasil Simulasi Perbesaran 0 Eksperimen 3



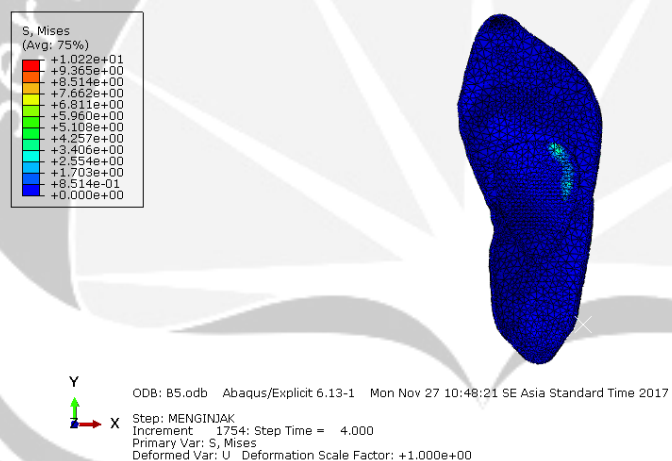
### Hasil Simulasi Perbesaran 0 Eksperimen 2



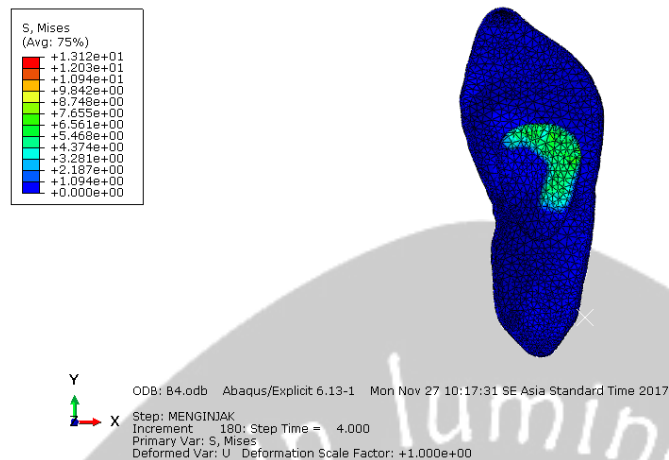
### Hasil Simulasi Perbesaran 0,75 Eksperimen 12



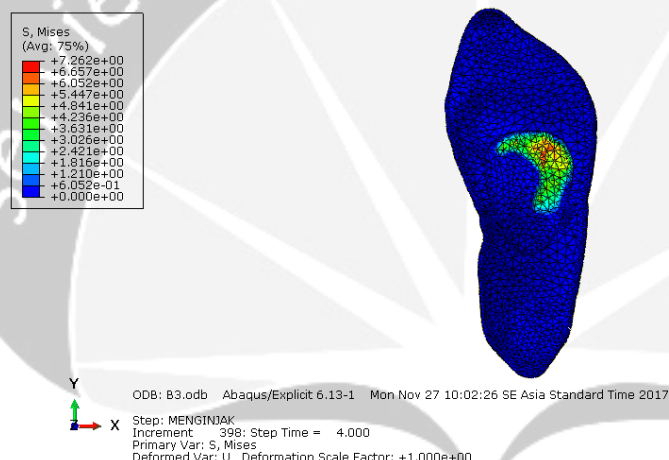
Hasil Simulasi Perbesaran 0,75 Eksperimen 11



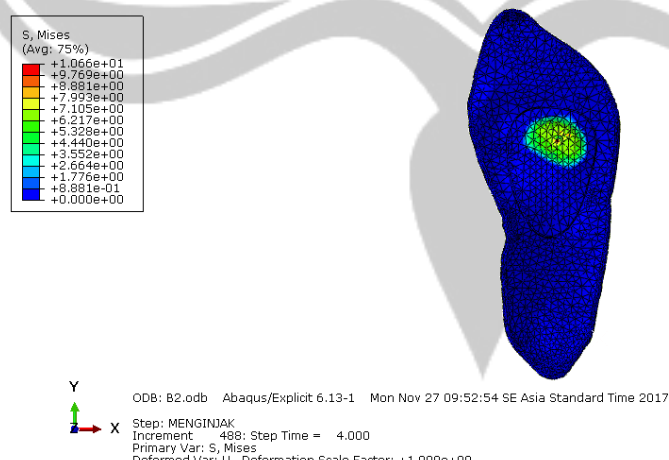
Hasil Simulasi Perbesaran 0,75 Eksperimen 10



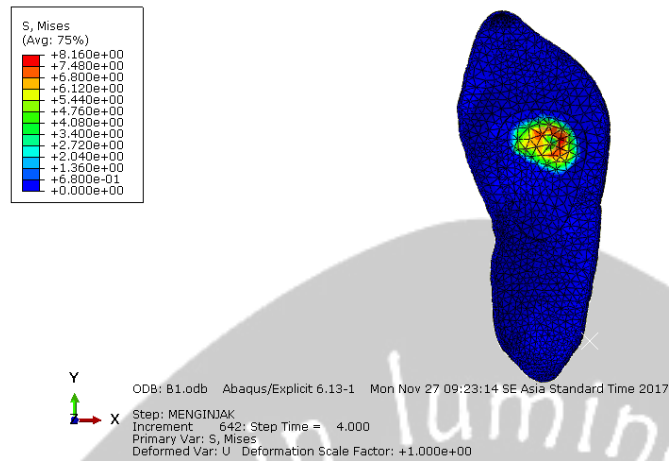
### Hasil Simulasi Perbesaran 0,75 Eksperimen 8



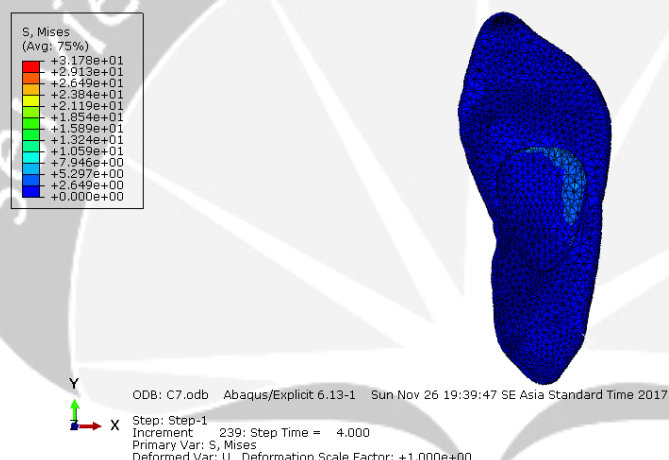
### Hasil Simulasi Perbesaran 0,75 Eksperimen 6



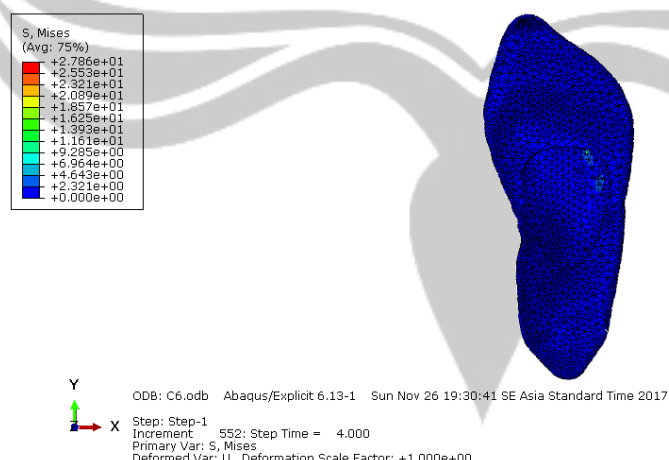
### Hasil Simulasi Perbesaran 0,75 Eksperimen 4



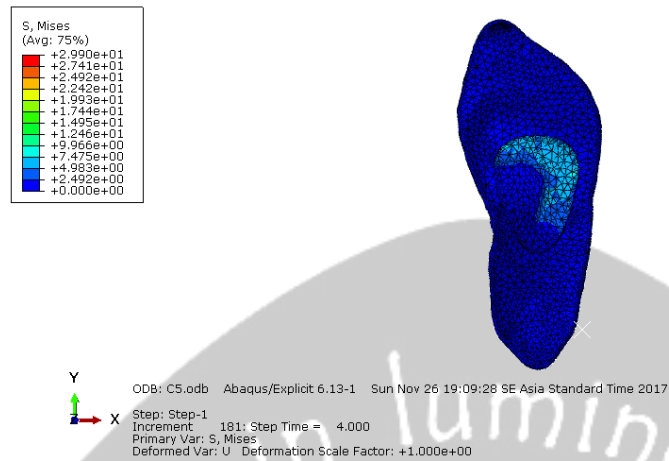
**Hasil Simulasi Perbesaran 0,75 Eksperimen 3**



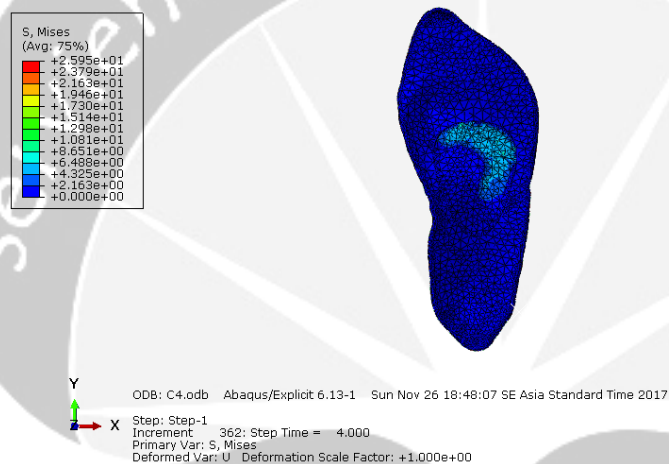
**Hasil Simulasi Perbesaran 1,5 Eksperimen 12**



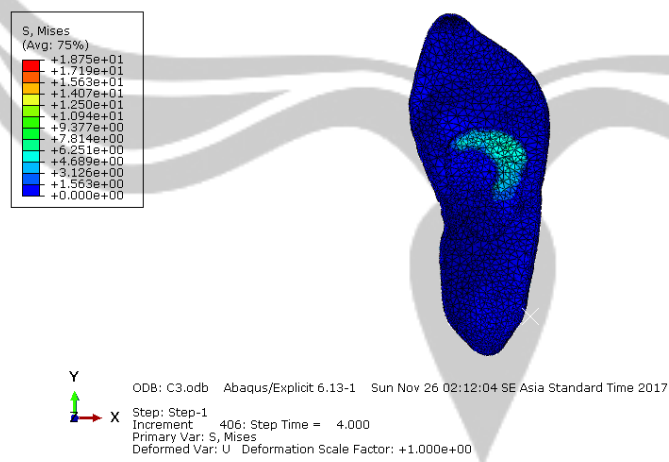
**Hasil Simulasi Perbesaran 1,5 Eksperimen 11**



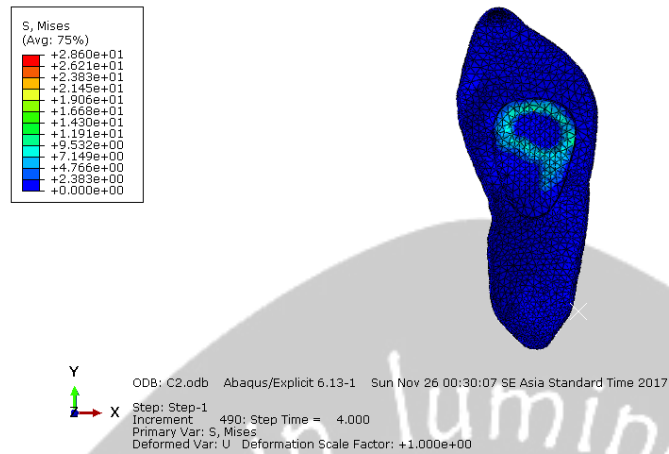
**Hasil Simulasi Perbesaran 1,5 Eksperimen 8**



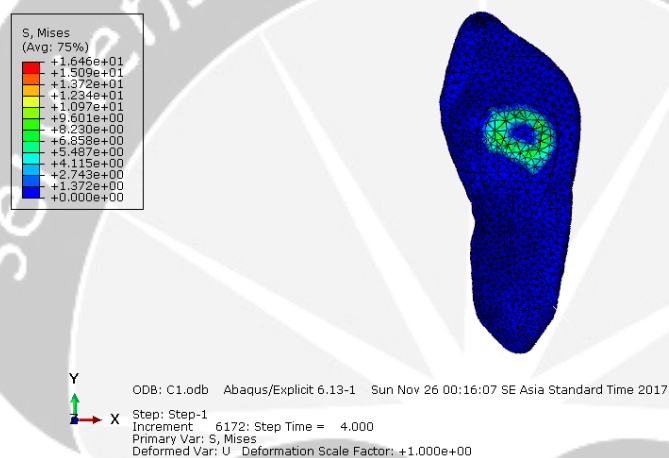
**Hasil Simulasi Perbesaran 1,5 Eksperimen 7**



**Hasil Simulasi Perbesaran 1,5 Eksperimen 6**



**Hasil Simulasi Perbesaran 1,5 Eksperimen 4**



**Hasil Simulasi Perbesaran 1,5 Eksperimen 2**